

Kleisli Simulation for Real-Weighted Automata and its Algorithm

卜部 夏木 (蓮尾研究室)

Overview

- Simulation
- Kleisli Simulation
- Contribution
 1. Implementation
 2. Increasing the Chance of Simulation
- Experimental Results and Comparison

Overview

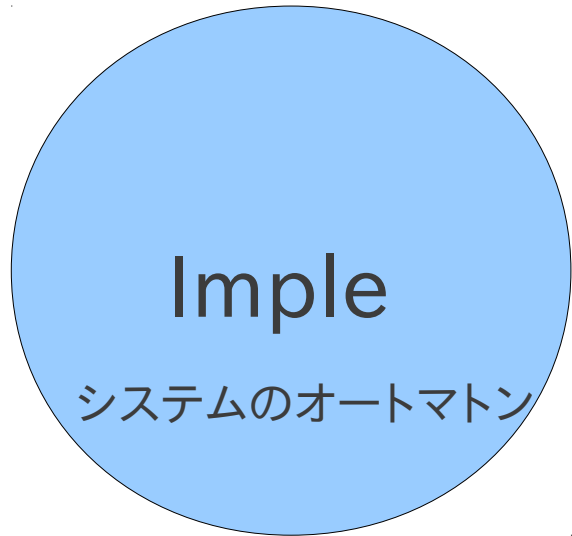
- **Simulation**
- Kleisli Simulation
- Contribution
 1. Implementation
 2. Increasing the Chance of Simulation
- Experimental Results and Comparison

Motivation

- 並列システムの形式検証
- 定量的な性質
例：確率・空間・時間…

並列システムの形式検証

ここでの方法・・・

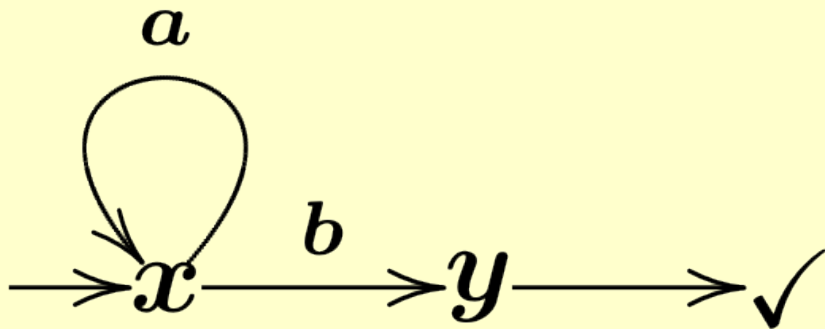


- システムの「ふるまい」が仕様の「ふるまい」に「含まれる」かどうか調べる

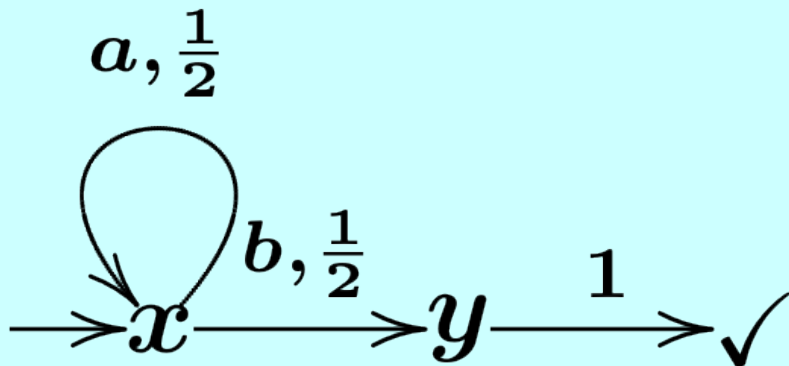
Trace Semantics

Trace semantics = 線形時間の全体的なふるまい

- 非決定性オートマトン



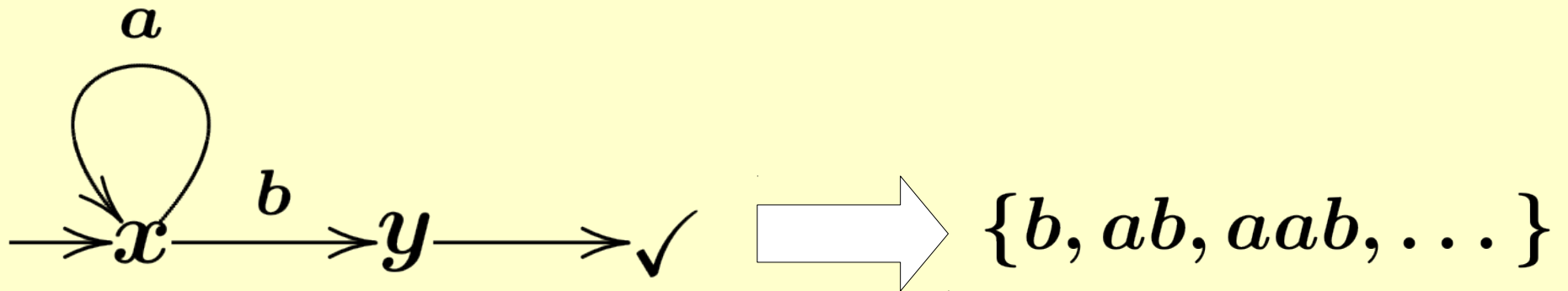
- 確率的オートマトン



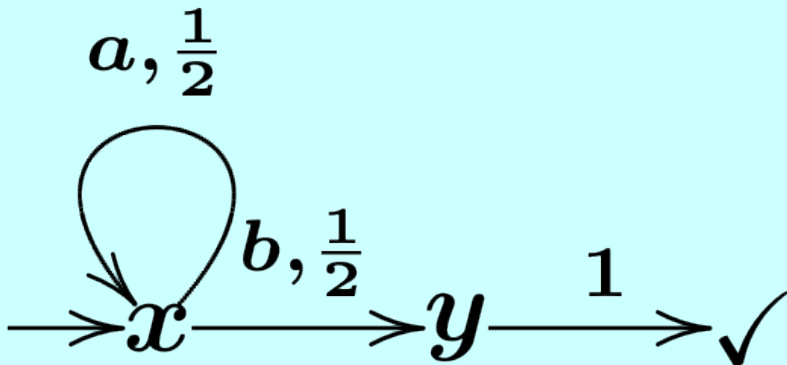
Trace Semantics

Trace semantics = 線形時間の全体的なふるまい

- 非決定性オートマトン



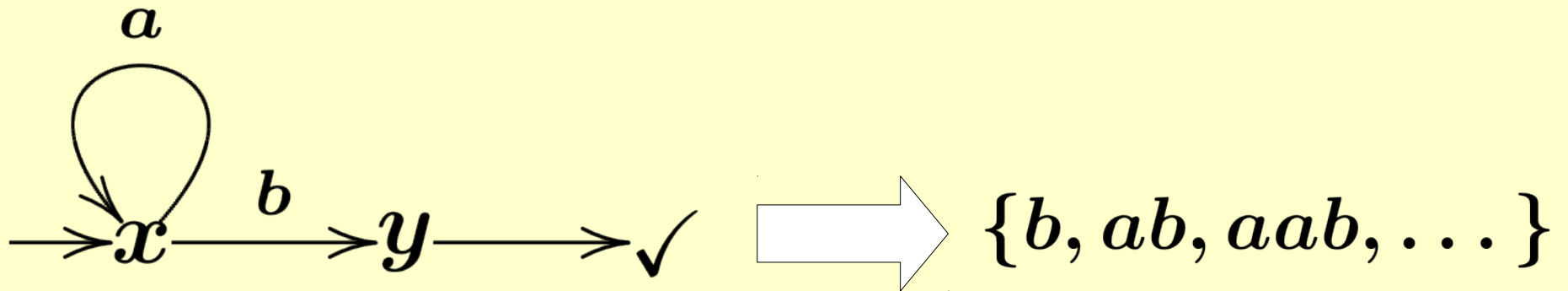
- 確率的オートマトン



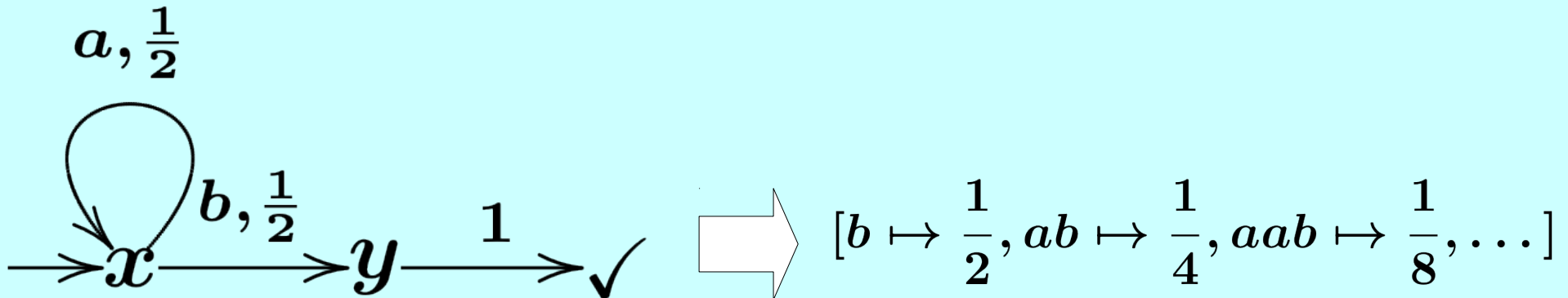
Trace Semantics

Trace semantics = 線形時間の全体的なふるまい

- 非決定性オートマトン



- 確率的オートマトン



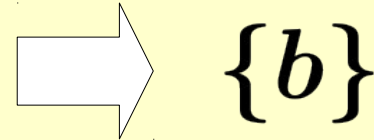
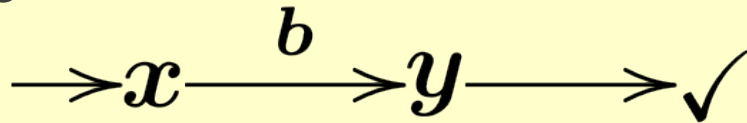
Trace Inclusion

- Trace inclusion
= trace semantics 間の包含関係

Trace Inclusion

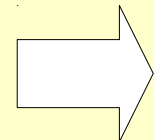
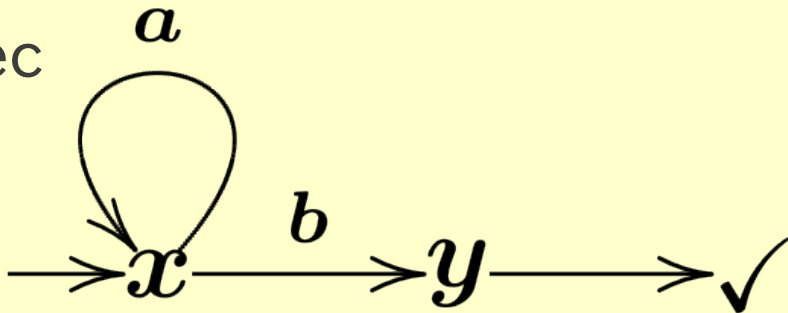
- Trace inclusion
= trace semantics 間の包含関係
- 非決定性オートマトン \rightarrow 集合の包含関係

Imple



$\{b\}$

Spec

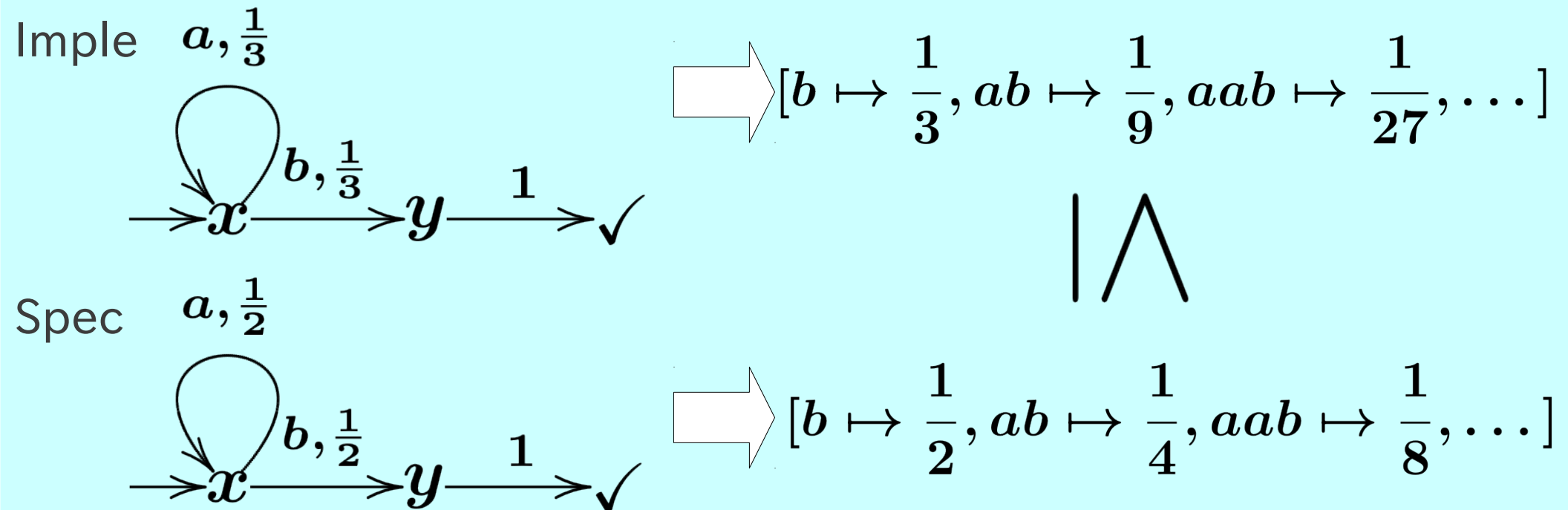


$\{b, ab, aab, \dots\}$

\supseteq

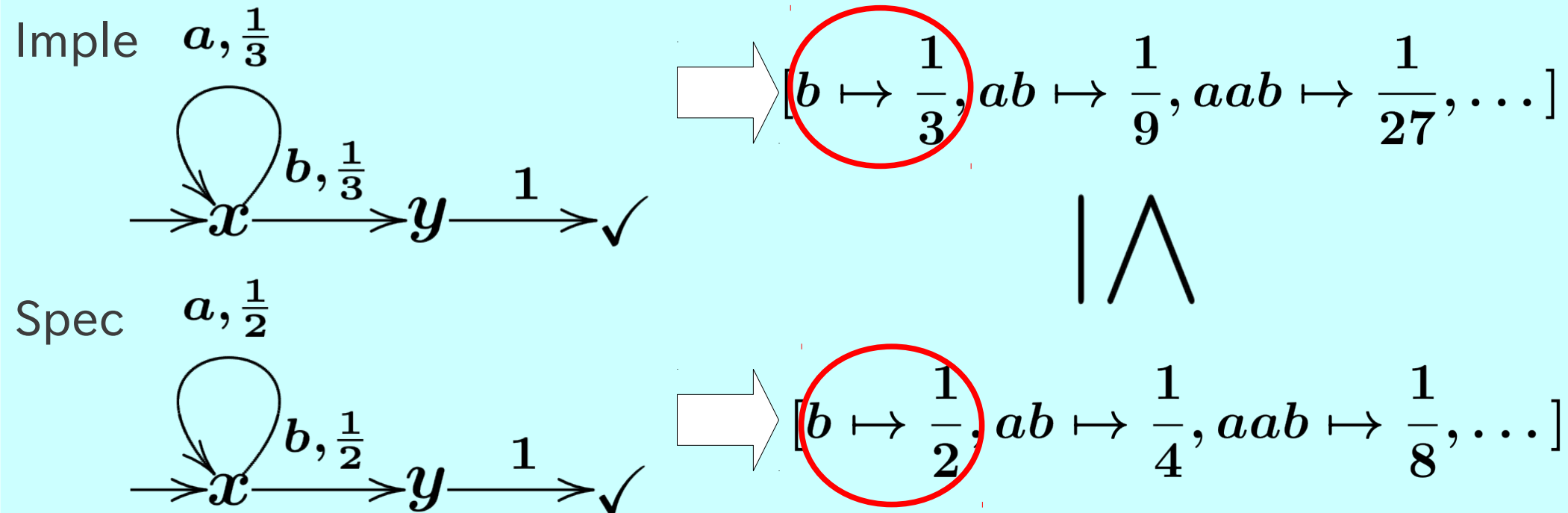
Trace Inclusion

- Trace inclusion
= trace semantics 間の包含関係
- 確率的オートマトン \rightarrow 文字列毎の確率



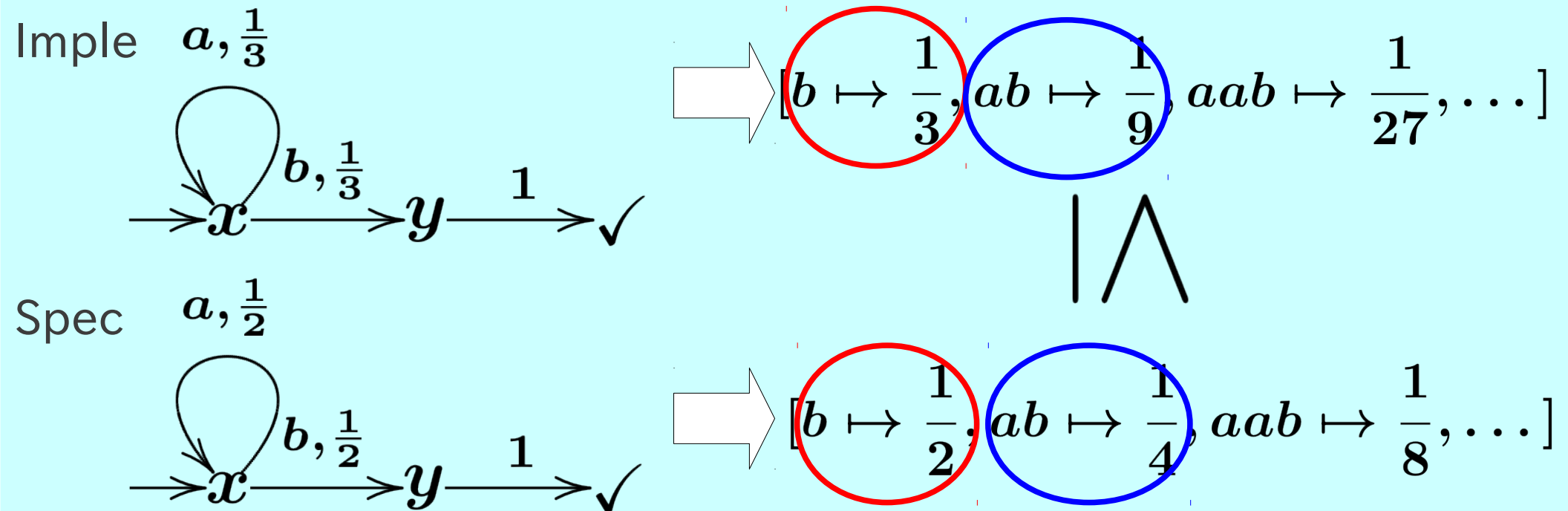
Trace Inclusion

- Trace inclusion
= trace semantics 間の包含関係
- 確率的オートマトン \rightarrow 文字列毎の確率



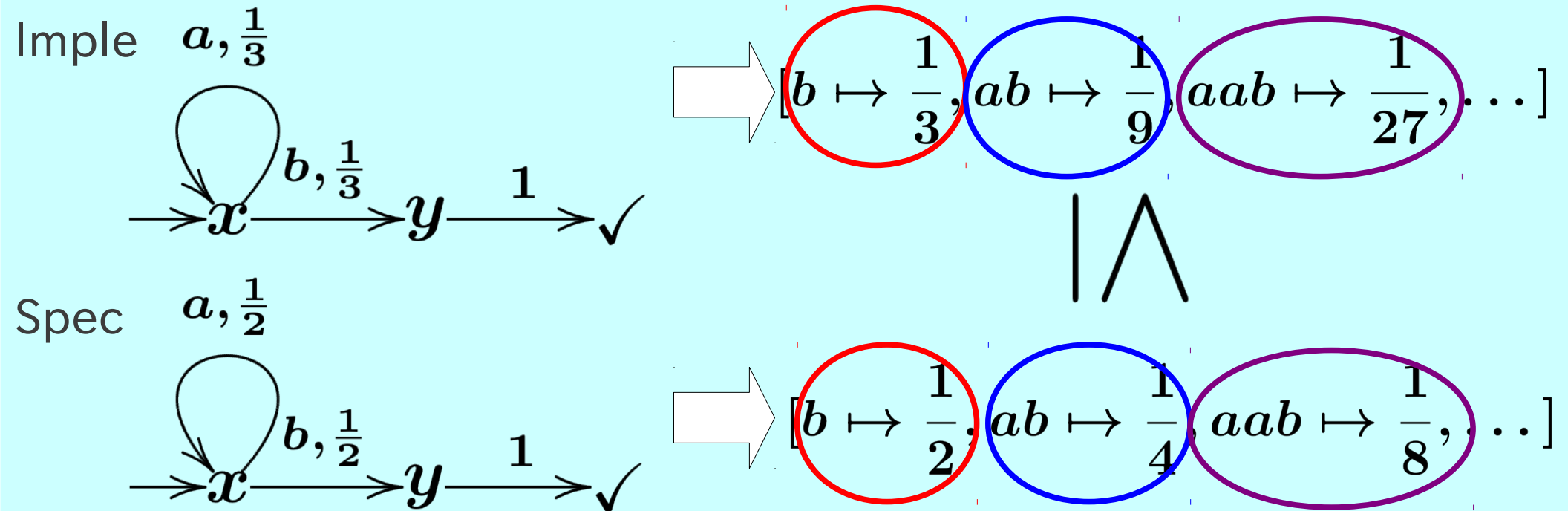
Trace Inclusion

- Trace inclusion
= trace semantics 間の包含関係
- 確率的オートマトン \rightarrow 文字列毎の確率



Trace Inclusion

- Trace inclusion
= trace semantics 間の包含関係
- 確率的オートマトン \rightarrow 文字列毎の確率



目標

- Trace inclusion を調べたい
- Trace semantics は普通は無限
 $\{b, ab, aab, \dots\} \quad [b \mapsto \frac{1}{2}, ab \mapsto \frac{1}{4}, aab \mapsto \frac{1}{8}, \dots]$

目標

- Trace inclusion を調べたい
- Trace semantics は普通は無限
 $\{b, ab, aab, \dots\}$ $[b \mapsto \frac{1}{2}, ab \mapsto \frac{1}{4}, aab \mapsto \frac{1}{8}, \dots]$

 自動で調べることは難しい

Simulation = Stepwise Trace Inclusion

- 全体の trace inclusion を調べる代わりに
stepwise な trace inclusion を調べる

Simulation = Stepwise Trace Inclusion

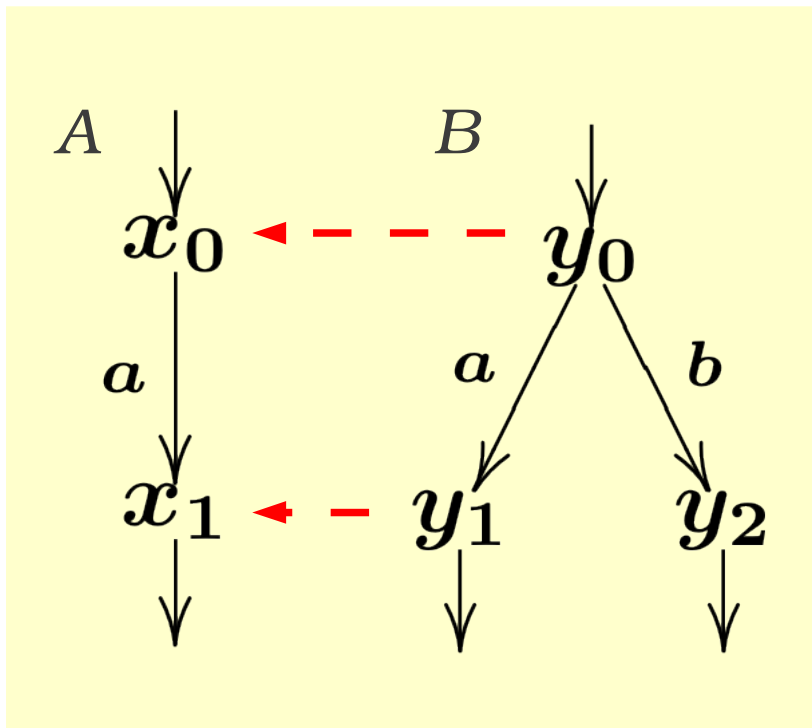
- 全体の trace inclusion を調べる代わりに
stepwise な trace inclusion を調べる

⇒ Simulation

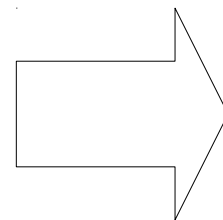
Simulation = Stepwise Trace Inclusion

- 全体の trace inclusion を調べる代わりに
stepwise な trace inclusion を調べる

⇒ Simulation



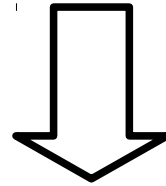
$$R \subseteq A \times B \quad \text{s.t.} \\ xRy, x \xrightarrow{a} x', y \xrightarrow{a} y' \Rightarrow x'Ry'$$



AからBへの
simulationが存在 19

Simulation

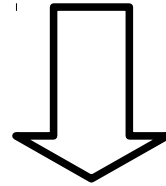
A から B への simulation が存在



A の trace は B の trace に含まれる (trace inclusion)

Simulation

A から B への simulation が存在

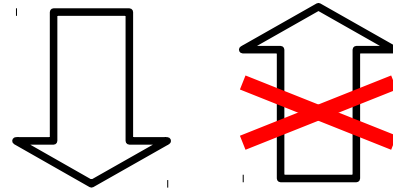


A の trace は B の trace に含まれる (trace inclusion)

 健全性

Simulation

A から B への simulation が存在



A の trace は B の trace に含まれる (trace inclusion)

➡ 健全性

➡ 完全性は必ずしも成り立たない

Overview

- Simulation
- **Kleisli Simulation**
- Contribution
 1. Implementation
 2. Increasing the Chance of Simulation
- Experimental Results and Comparison

Coalgebra

- State-based な遷移系の圏論的な理論
 - 例えば並列システム
- Jacobs, Rutten, Reichel in 90's

Kleisli 圏

- 圏 C とモナド T の Kleisli 圏 $Kl(T)$
 - 対象 : $\text{Obj}(C)$
 - 射 : $f: X \multimap Y$ in $Kl(T)$ is
 $f: X \rightarrow TY$ in C

Kleisli 圏

- Kleisli 圏で様々なシステムを表現できる
- モナド T ごとに様々なシステム

例:

$$T = P \quad \text{Powerset monad} \\ PX = \{A \subseteq X\}$$

→ 非決定性オートマトン

$$T = D \quad \text{Subdistribution monad} \\ DX = \{f : X \rightarrow [0, 1] \mid \sum_x f(x) \leq 1\}$$

→ 確率的オートマトン

Trace Semantics via Coinduction

(Hasuo, Jacobs, and Sokolova, 2006)

- Kleisli 圏を用いた
trace semantics の一般的な定義
- 様々な遷移系に trace semantics を定義できる

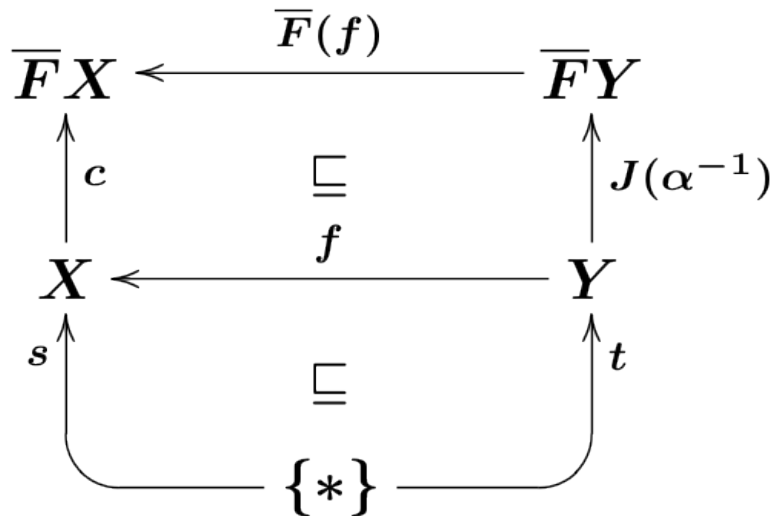
$$\begin{array}{ccc}
 \overline{F} X & \xrightarrow{\quad \overline{F}(\text{tr}(c)) \quad} & \overline{F} A \\
 \uparrow c & = & \uparrow J(\alpha^{-1}) \\
 X & \xrightarrow{\quad \text{tr}(c) \quad} & A
 \end{array}$$

Final Coalgebra

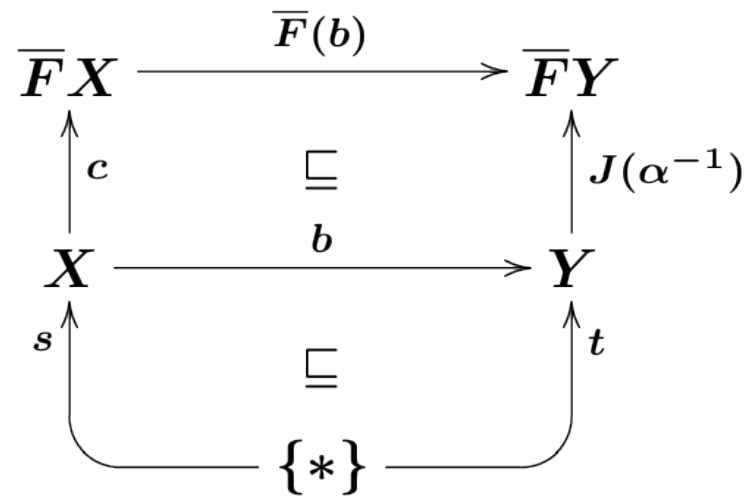
Kleisli Simulation (Hasuo, 2006)

- Kleisli 圏を用いた simulation の一般的な定義
- 様々な遷移系に simulation (Kleisli simulation) を定義できる

Forward



Backward

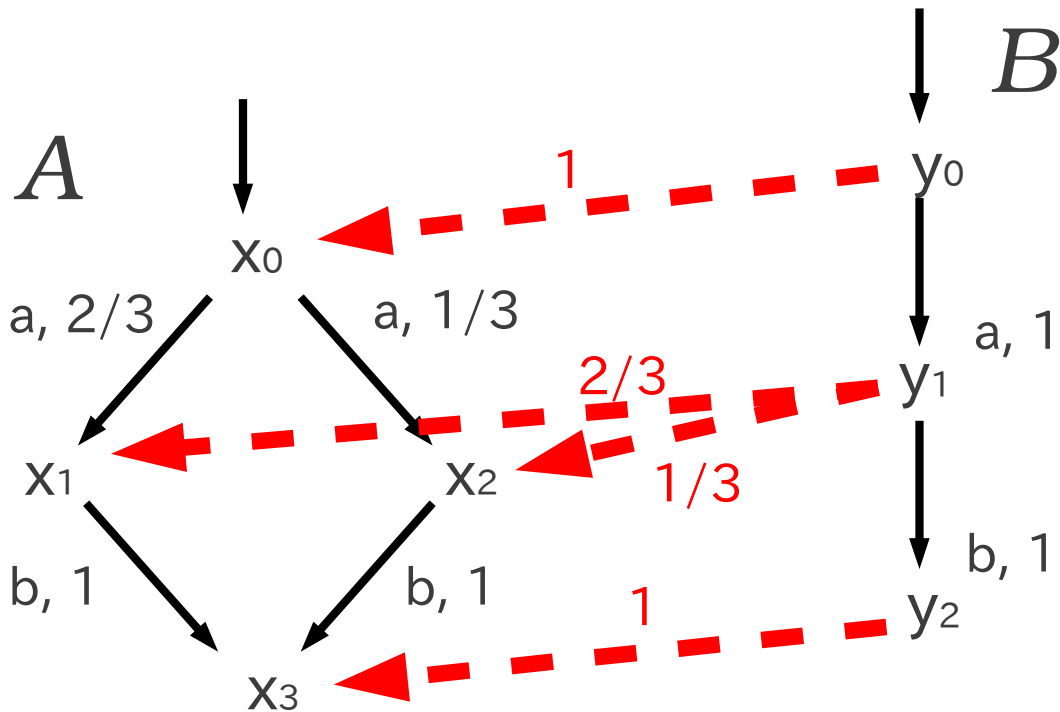


確率的オートマトンの Kleisli Simulation

定義:

A から B への **forward simulation** とは $f: B \rightarrow DA$ s.t.

$$\forall x \in A. \forall y \in B. \forall \sigma \in \Sigma. \Pr \left[\begin{array}{c} \circ \xleftarrow{y} \\ \downarrow \sigma \\ x \end{array} \right] \leq \Pr \left[\begin{array}{c} y \\ \downarrow \sigma \\ \circ \xleftarrow{x} \end{array} \right]$$



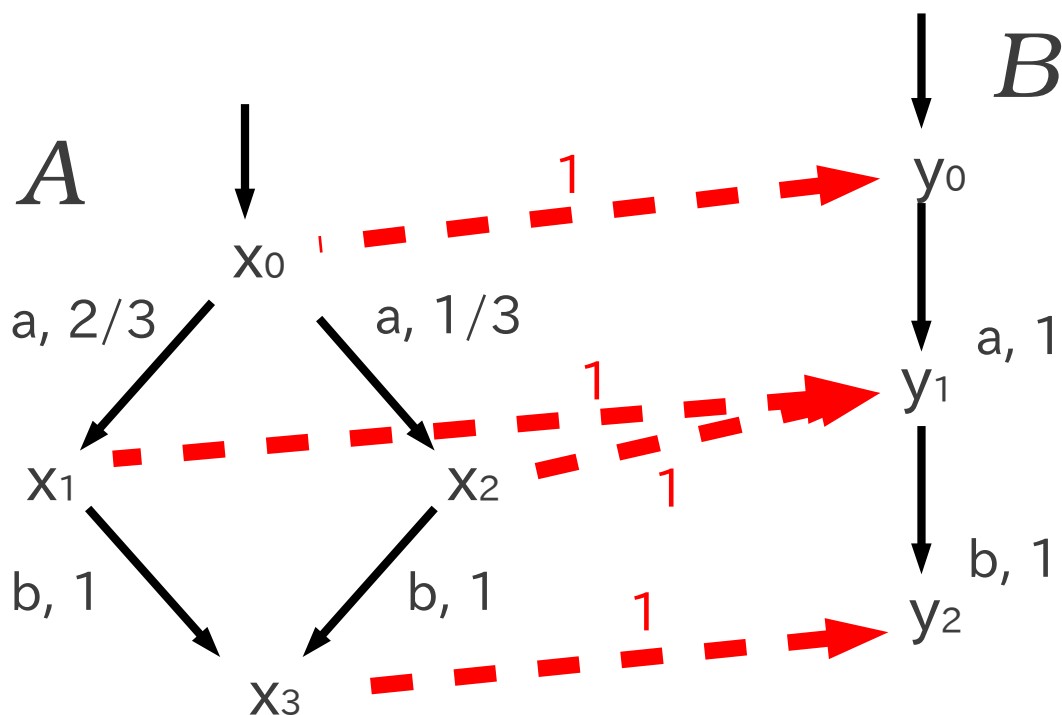
⇒ 線形不等式
(Hasuo, 2010)

確率的オートマトンの Kleisli Simulation

定義:

A から B への **backward simulation** とは $b : A \rightarrow DB$ s.t.

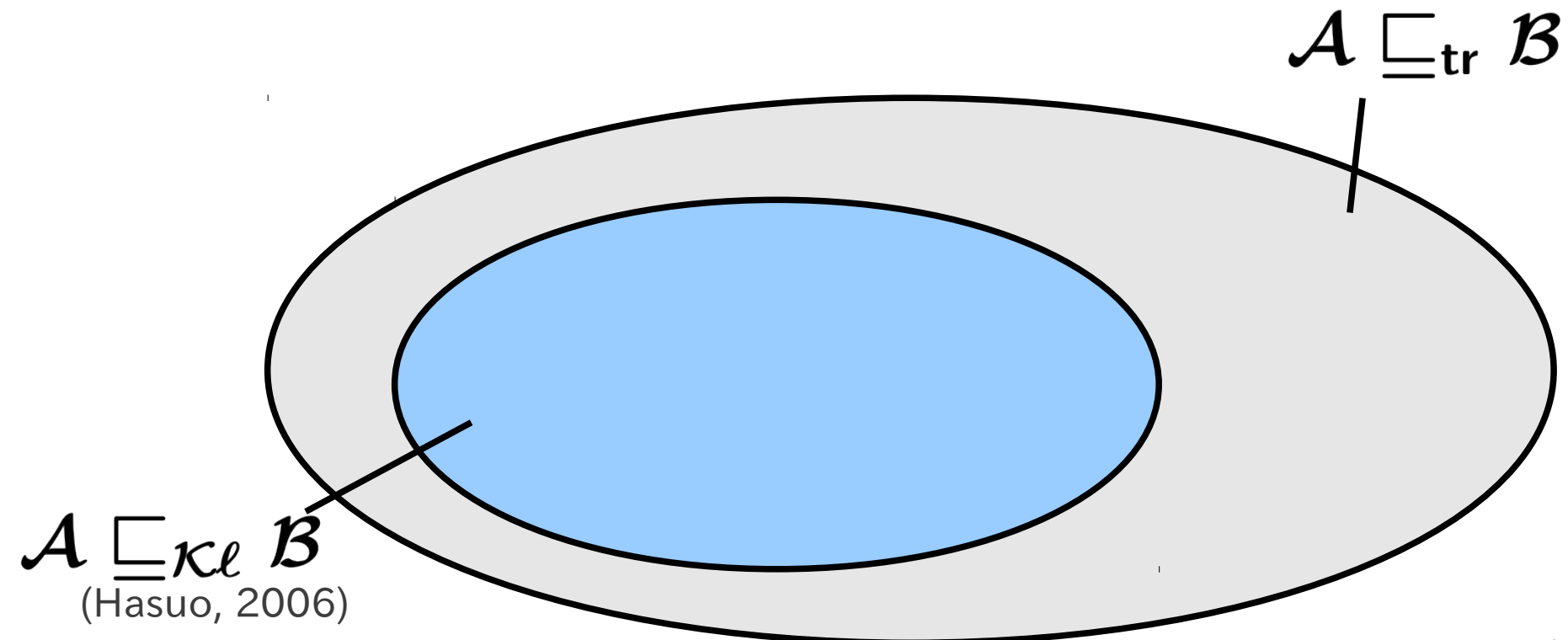
$$\forall x \in A. \forall y \in B. \forall \sigma \in \Sigma. \Pr \left[\begin{array}{c} x \\ \downarrow \sigma \\ \circ \end{array} \rightarrow y \right] \leq \Pr \left[\begin{array}{c} x \rightarrow \circ \\ \downarrow \sigma \\ y \end{array} \right]$$



⇒ 線形不等式
(Hasuo, 2010)

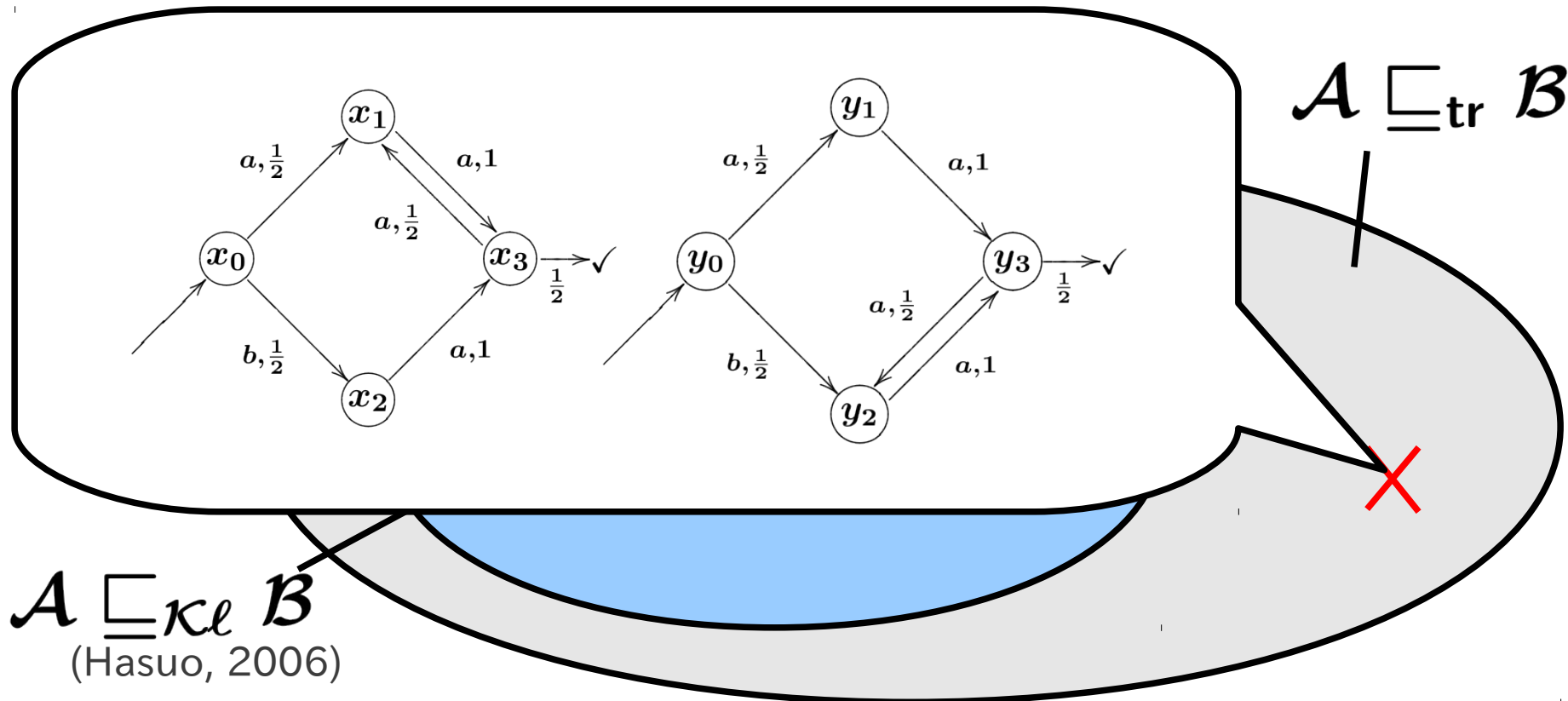
確率的オートマトンのKleisli Simulation

- 確率的オートマトンの trace inclusion は
決定不能 (Blondel & Canterni, 2003)



確率的オートマトンのKleisli Simulation

- 確率的オートマトンの trace inclusion は
決定不能 (Blondel & Canterni, 2003)



Overview

- Simulation
- Kleisli Simulation
- **Contribution**
 1. Implementation
 2. Increasing the Chance of Simulation
- Experimental Results and Comparison

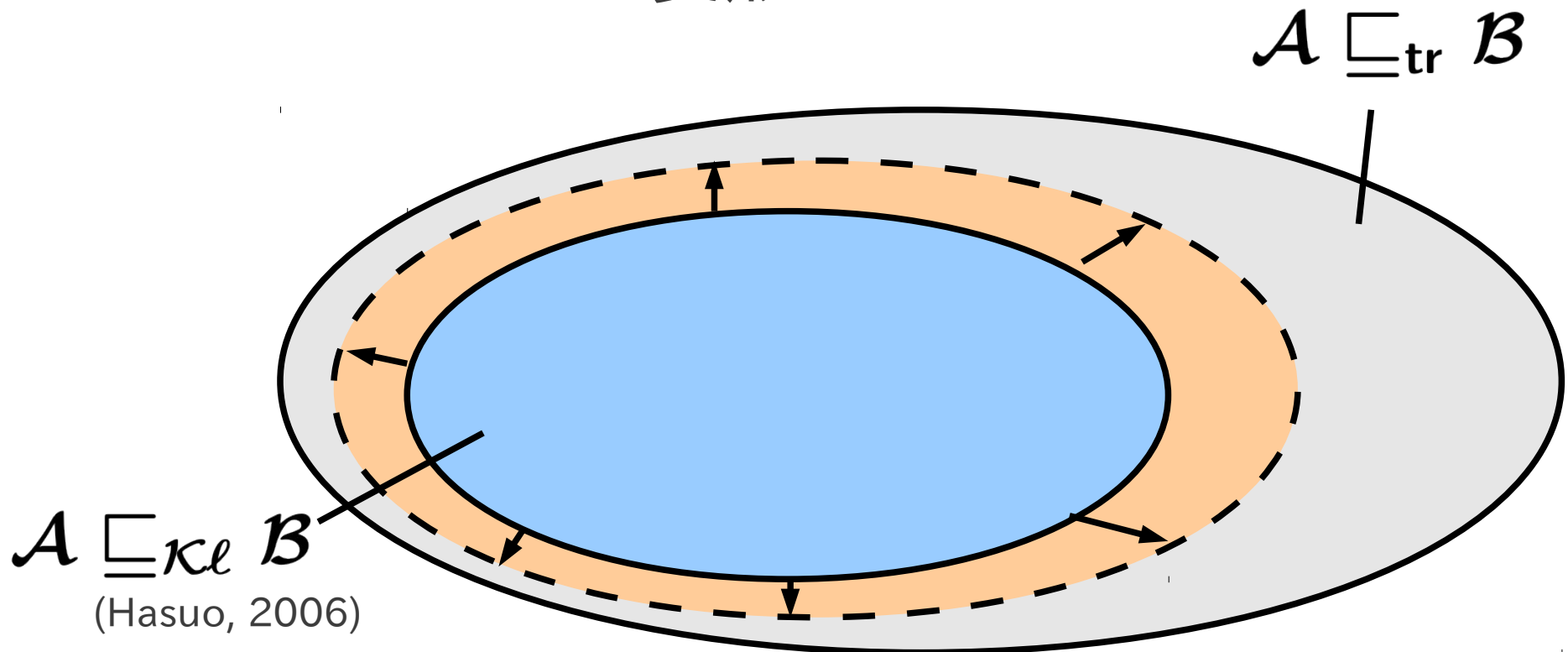
Contributions

1. 線形不等式を解くことで確率的オートマトンの Kleisli simulation を調べるプログラムを実装

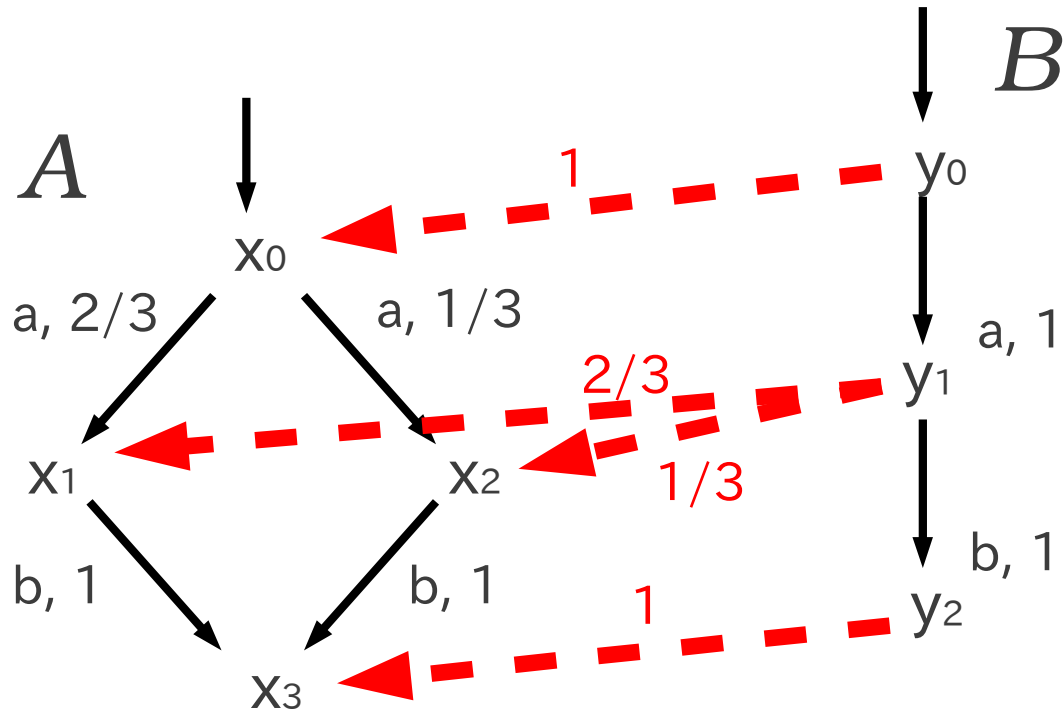
Contributions

2. Kleisli simulation を存在しやすくする工夫

- 確率 \rightarrow 実数
- オートマトンの変形

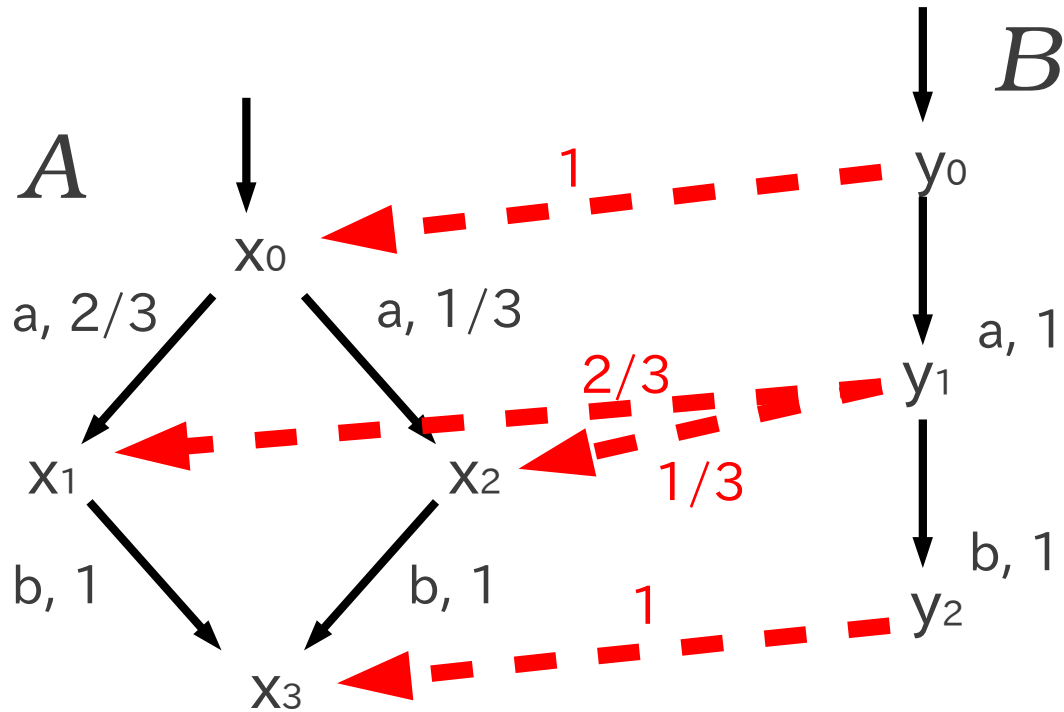


確率 \rightarrow 実数重み



- 確率的オートマトンのKleisli sim. は確率分布 $[0,1]$

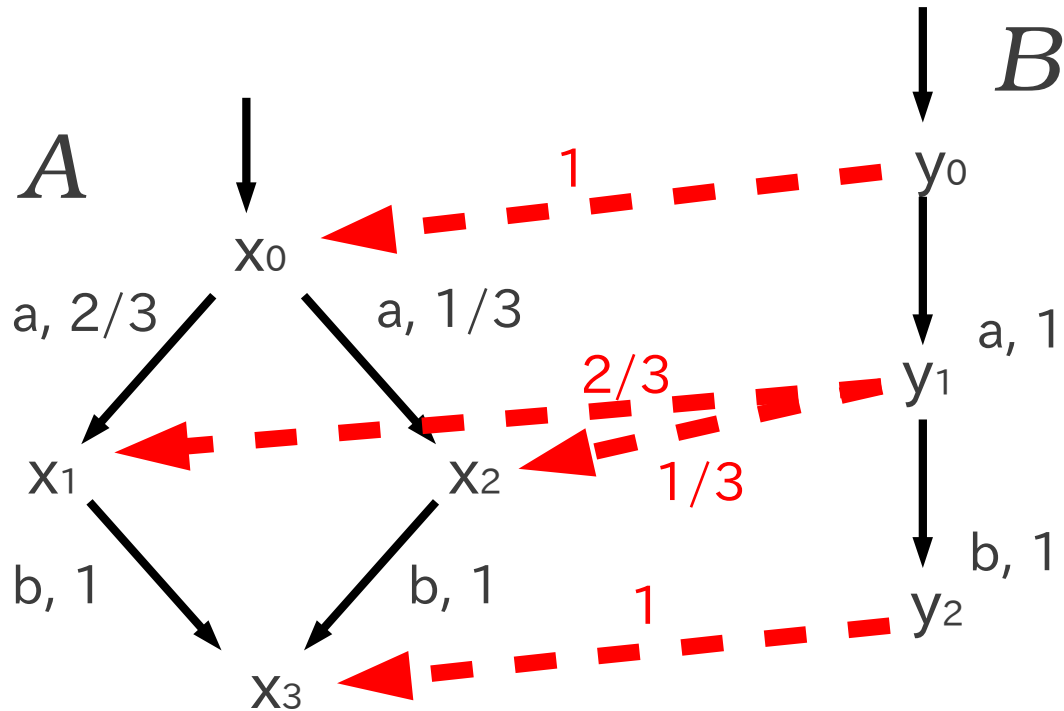
確率 → 実数重み



- 確率的オートマトンのKleisli sim. は確率分布 $[0,1]$

⇒ 実数分布 $[0, \infty)$ に拡張

確率 → 実数重み



- 確率的オートマトンのKleisli sim. は確率分布 $[0, 1]$

⇒ 実数分布 $[0, \infty)$ に拡張

- モナド: $D \rightarrow M$

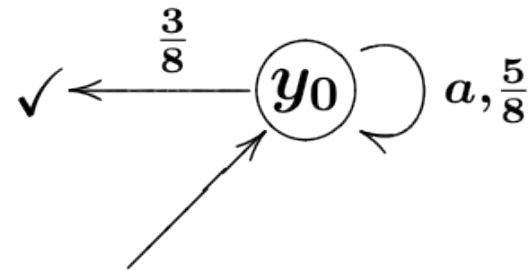
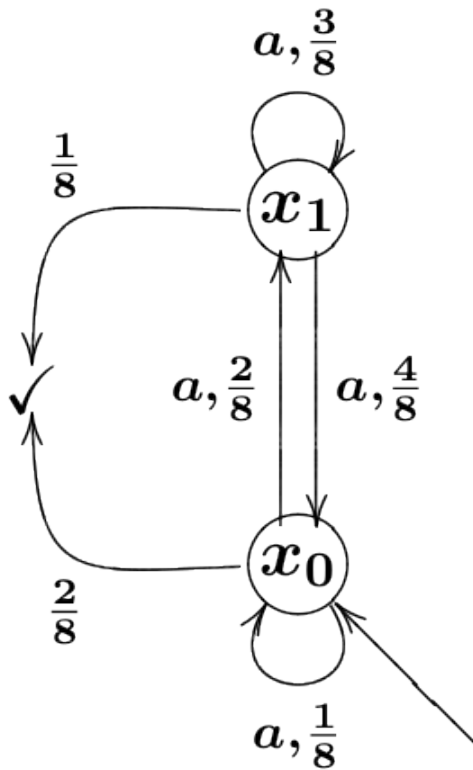
$$DX = \{f : X \rightarrow [0, 1] \mid \sum_x f(x) \leq 1\}$$

$$MX = \{f : X \rightarrow [0, \infty] \mid \text{supp}(f) \text{ is countable}\}$$

システム: 確率的オートマトン → 重み付きオートマトン³⁸

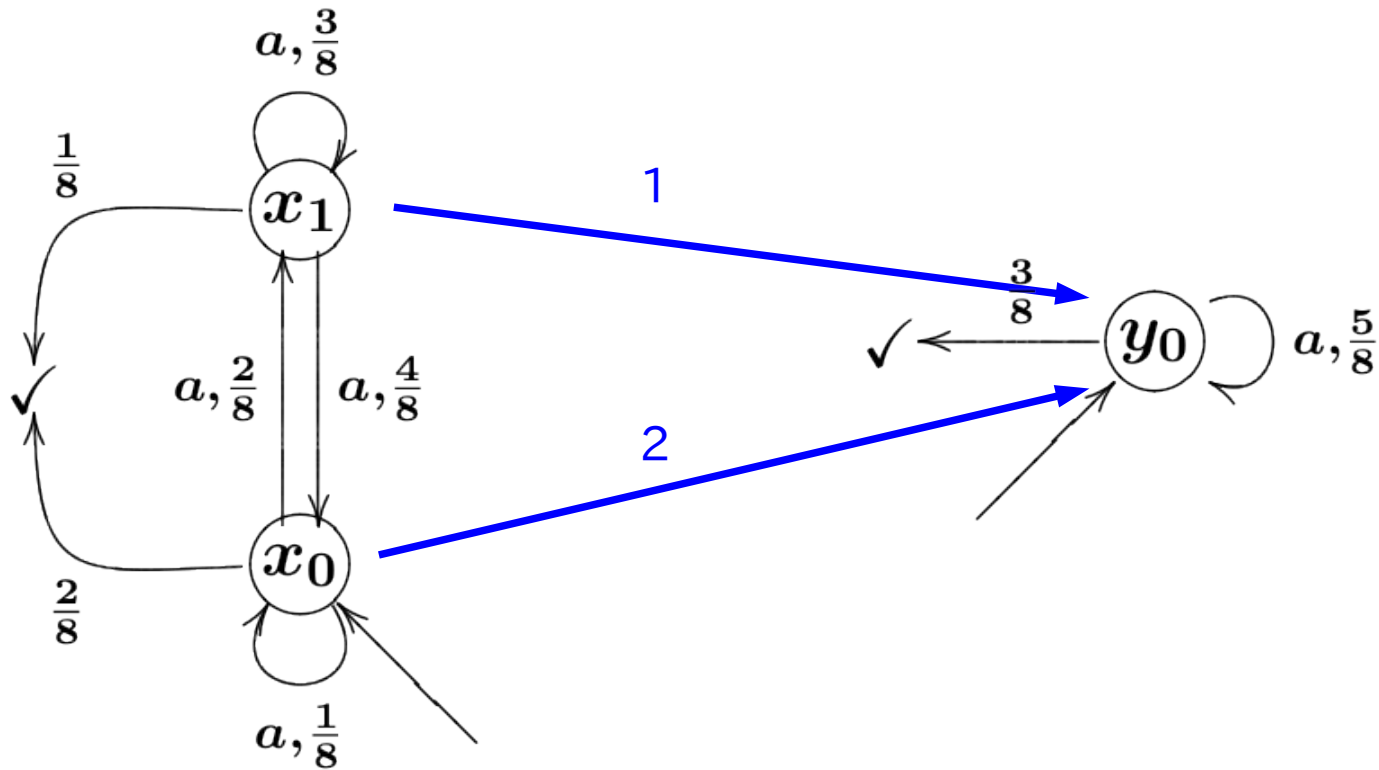
確率 \rightarrow 実数重み

- 新しく Kleisli simulation が見つかることがある



確率 \rightarrow 実数重み

- 新しく Kleisli simulation が見つかることがある

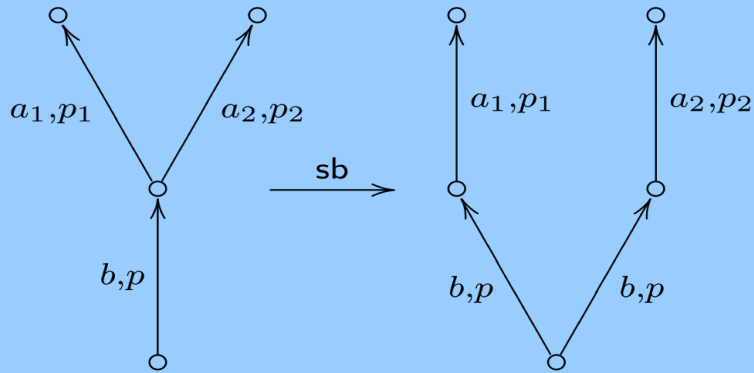


オートマトンの変形

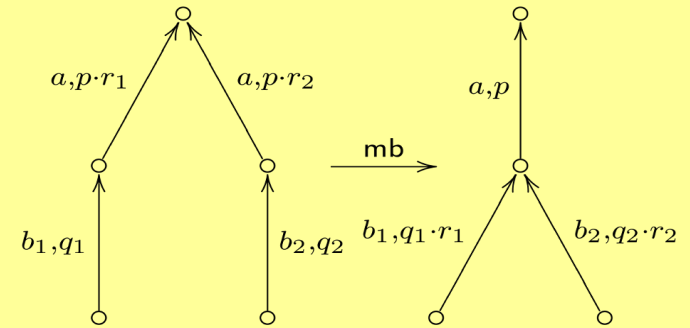
- オートマトンを変形し、
Kleisli simulation を存在しやすく

4種の変形

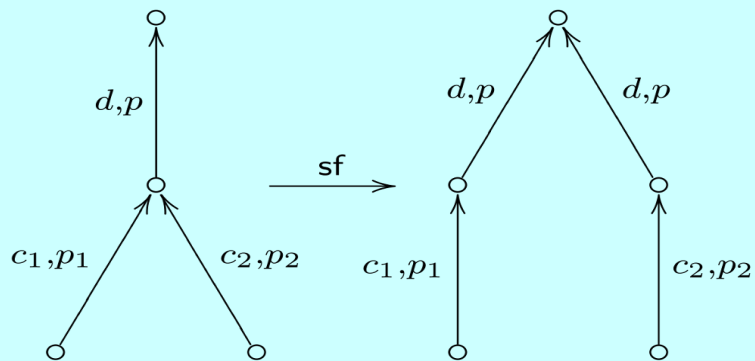
Split Backward



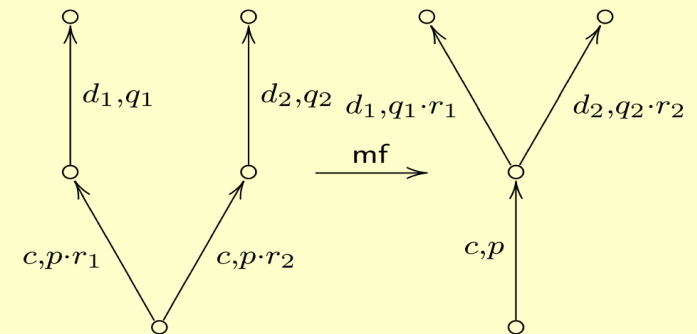
Merge Backward



Split Forward



Merge Forward



変形の性質

- 変形は Kleisli simulation の健全性を保つ

Lemma 3.1.5. *Each of the following implies $\forall w \in \Sigma^*. \mathcal{A}(w) \leq \mathcal{B}(w)$.*

$$1. \mathcal{A} \xrightarrow{\text{sb}} \mathcal{A}_{\text{sb}} \text{ and } \mathcal{A}_{\text{sb}} \sqsubseteq_{\mathbf{F}} \mathcal{B}$$

$$2. \mathcal{B} \xrightarrow{\text{sb}} \mathcal{B}_{\text{sb}} \text{ and } \mathcal{A} \sqsubseteq_{\mathbf{B}} \mathcal{B}_{\text{sb}}$$

$$3. \mathcal{A} \xrightarrow{\text{sf}} \mathcal{A}_{\text{sf}} \text{ and } \mathcal{A}_{\text{sf}} \sqsubseteq_{\mathbf{B}} \mathcal{B}$$

$$4. \mathcal{B} \xrightarrow{\text{sf}} \mathcal{B}_{\text{sf}} \text{ and } \mathcal{A} \sqsubseteq_{\mathbf{F}} \mathcal{B}_{\text{sf}}$$

$$5. \mathcal{A} \xrightarrow{\text{mb}} \mathcal{A}_{\text{mb}} \text{ and } \mathcal{A}_{\text{mb}} \sqsubseteq_{\mathbf{F}} \mathcal{B}$$

$$6. \mathcal{B} \xrightarrow{\text{mb}} \mathcal{B}_{\text{mb}} \text{ and } \mathcal{A} \sqsubseteq_{\mathbf{B}} \mathcal{B}_{\text{mb}}$$

$$7. \mathcal{A} \xrightarrow{\text{mf}} \mathcal{A}_{\text{mf}} \text{ and } \mathcal{A}_{\text{mf}} \sqsubseteq_{\mathbf{B}} \mathcal{B}$$

$$8. \mathcal{B} \xrightarrow{\text{mf}} \mathcal{B}_{\text{mf}} \text{ and } \mathcal{A} \sqsubseteq_{\mathbf{F}} \mathcal{B}_{\text{mf}}$$

- 変形は既存の Kleisli simulation を壊さない

Lemma 3.1.6. *Assume $\mathcal{A} \sqsubseteq_{\mathbf{F}} \mathcal{B}$. Each of the following holds.*

$$1. \mathcal{A} \xrightarrow{\text{sb}} \mathcal{A}_{\text{sb}} \Rightarrow \mathcal{A}_{\text{sb}} \sqsubseteq_{\mathbf{F}} \mathcal{B}$$

$$2. \mathcal{B} \xrightarrow{\text{sf}} \mathcal{B}_{\text{sf}} \Rightarrow \mathcal{A} \sqsubseteq_{\mathbf{F}} \mathcal{B}_{\text{sf}}$$

$$3. \mathcal{A} \xrightarrow{\text{mb}} \mathcal{A}_{\text{mb}} \Rightarrow \mathcal{A}_{\text{mb}} \sqsubseteq_{\mathbf{F}} \mathcal{B}$$

$$4. \mathcal{B} \xrightarrow{\text{mf}} \mathcal{B}_{\text{mf}} \Rightarrow \mathcal{A} \sqsubseteq_{\mathbf{F}} \mathcal{B}_{\text{mf}}$$

Assume $\mathcal{A} \sqsubseteq_{\mathbf{B}} \mathcal{B}$. Each of the following holds.

$$5. \mathcal{B} \xrightarrow{\text{sb}} \mathcal{B}_{\text{sb}} \Rightarrow \mathcal{A} \sqsubseteq_{\mathbf{B}} \mathcal{B}_{\text{sb}}$$

$$6. \mathcal{A} \xrightarrow{\text{sf}} \mathcal{A}_{\text{sf}} \Rightarrow \mathcal{A}_{\text{sf}} \sqsubseteq_{\mathbf{B}} \mathcal{B}$$

$$7. \mathcal{B} \xrightarrow{\text{mb}} \mathcal{B}_{\text{mb}} \Rightarrow \mathcal{A} \sqsubseteq_{\mathbf{B}} \mathcal{B}_{\text{mb}}$$

$$8. \mathcal{A} \xrightarrow{\text{mf}} \mathcal{A}_{\text{mf}} \Rightarrow \mathcal{A}_{\text{mf}} \sqsubseteq_{\mathbf{B}} \mathcal{B}$$

変形の性質

- これ以上変形できないオートマトンの間の Kleisli simulation は完全

Theorem 3.2.6. Let $\mathcal{A} = (Q_{\mathcal{A}}, \Sigma, M_{\mathcal{A}}, \alpha_{\mathcal{A}}, \eta_{\mathcal{A}})$ and $\mathcal{B} = (Q_{\mathcal{B}}, \Sigma, M_{\mathcal{B}}, \alpha_{\mathcal{B}}, \eta_{\mathcal{B}})$ be S -weighted automata. Assume (\mathcal{M}_S, F) -systems $\mathcal{X}_{\mathcal{A}}$ and $\mathcal{X}_{\mathcal{B}}$ be their representations.

1. Assume below.

- $\mathcal{A} \xrightarrow{\text{sb}}$.
- $\mathcal{A} \xrightarrow{\text{mb}}$.
- Each transition weights of \mathcal{A} has its inverse element for multiplication.

Then the following statements hold:

- (a) If all states of \mathcal{A} is reachable to the final state, $\mathcal{X}_{\mathcal{A}} \sqsubseteq_{\mathbf{F}} \mathcal{X}_{\mathcal{B}} \Leftrightarrow \forall w \in \Sigma^*. \mathcal{A}(w) \leq \mathcal{B}(w)$.
- (b) If all states of \mathcal{B} is reachable from the initial state, $\mathcal{X}_{\mathcal{B}} \sqsubseteq_{\mathbf{B}} \mathcal{X}_{\mathcal{A}} \Leftrightarrow \forall w \in \Sigma^*. \mathcal{B}(w) \leq \mathcal{A}(w)$.

2. Assume below.

- $\mathcal{A} \xrightarrow{\text{sf}}$.
- $\mathcal{A} \xrightarrow{\text{mf}}$.
- Each transition weights of \mathcal{A} has its inverse element for multiplication.
- The transposes of \mathcal{A} and \mathcal{B} can be defined.

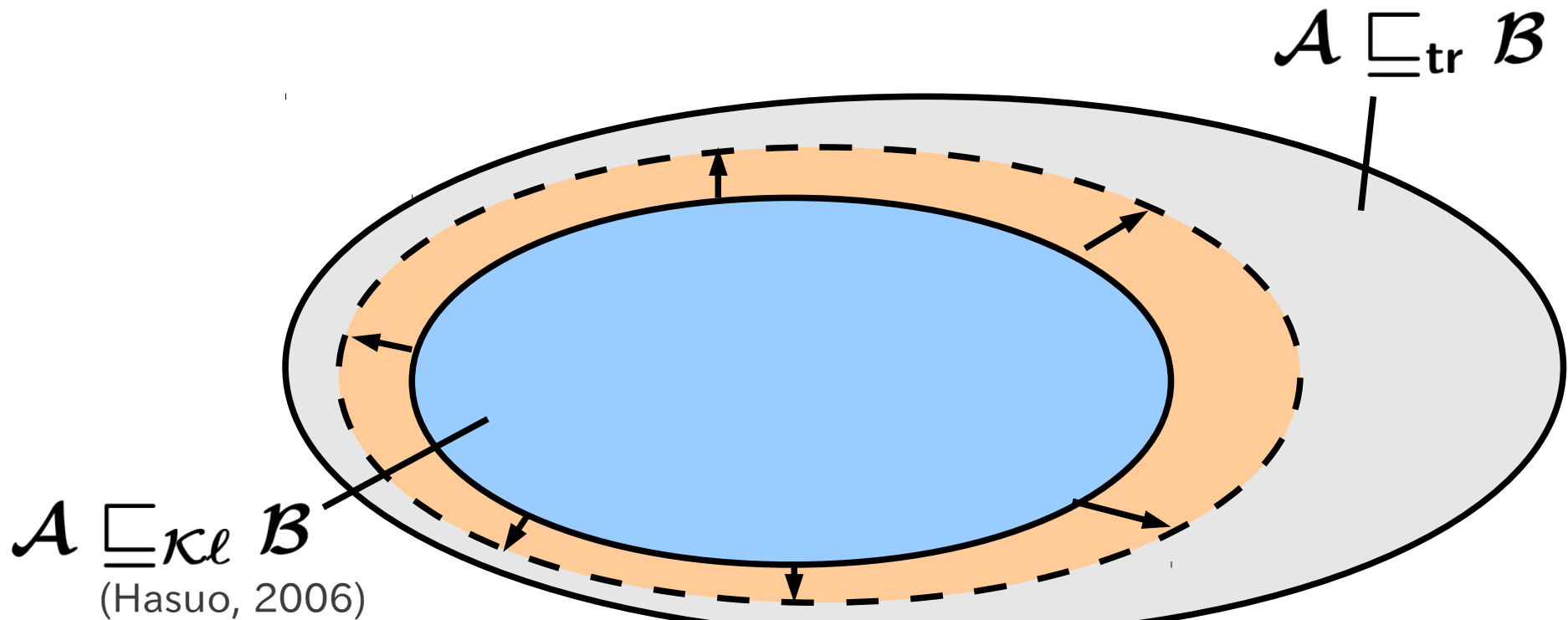
Then the following statements hold:

- (a) If all states of \mathcal{A} is reachable from the initial state, $\mathcal{X}_{\mathcal{A}} \sqsubseteq_{\mathbf{B}} \mathcal{X}_{\mathcal{B}} \Leftrightarrow \forall w \in \Sigma^*. \mathcal{A}(w) \leq \mathcal{B}(w)$.
- (b) If all states of \mathcal{B} is reachable to the final state, $\mathcal{X}_{\mathcal{B}} \sqsubseteq_{\mathbf{F}} \mathcal{X}_{\mathcal{A}} \Leftrightarrow \forall w \in \Sigma^*. \mathcal{B}(w) \leq \mathcal{A}(w)$.

- 普通は無限回変形できる

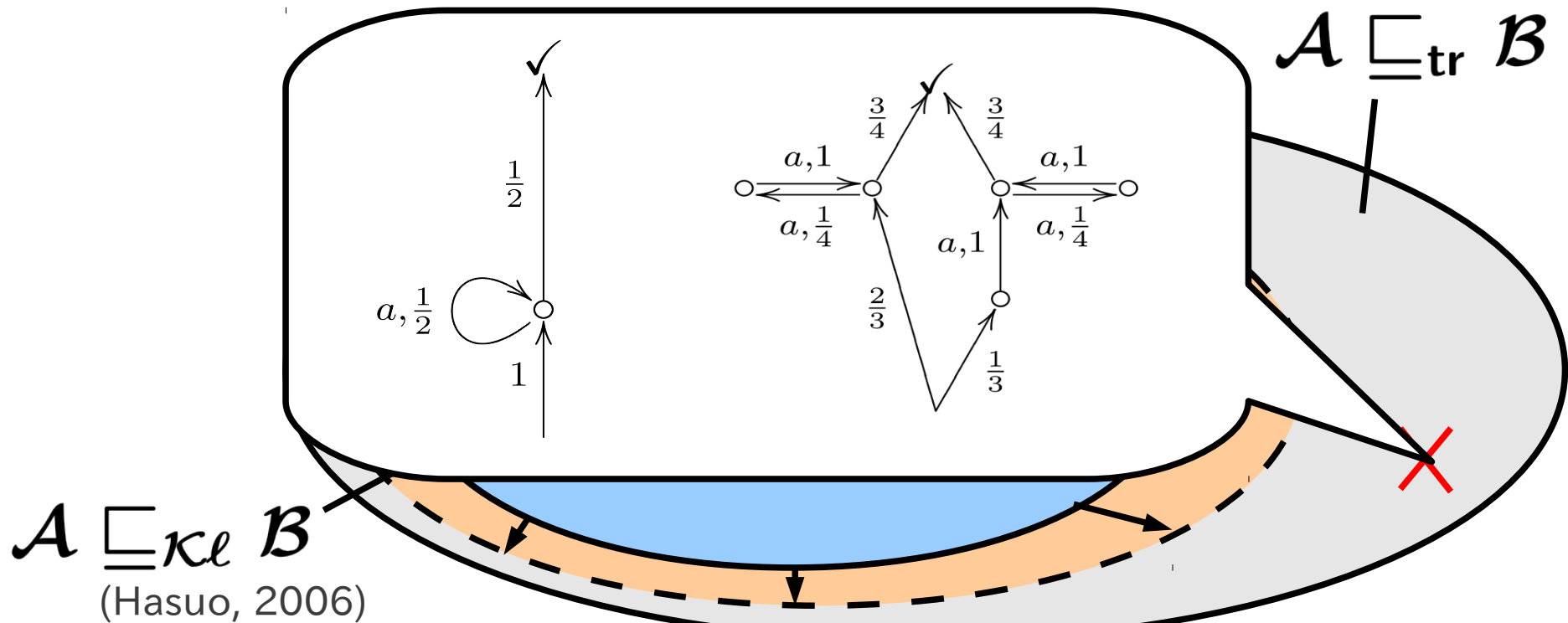
変形の性質

- 確率的オートマトンのtrace inclusion は半決定不能



変形の性質

- 確率的オートマトンのtrace inclusion は半決定不能
- 何度変形してもKleisli simulationが存在するようにならないことがある



Overview

- Simulation
- Kleisli Simulation
- Contribution
 1. Implementation
 2. Increasing the Chance of Simulation
- **Experimental Results and Comparison**

実装

- Kleisli simulation を探すプログラム
 - 線形計画問題ソルバを用いて線形不等式を解く
 - glpk
 - 単体法
- オートマトンを変形するプログラム

実験結果

- Grade protocol の正しさの検証
- オートマトンの等価性を調べることで検証できる

(Kiefer et al. 2011)

parm		protocol		specific		al	type	dir	f/b	time(sec)		space	ex
G	S	st	tr	st	tr					user	real		
2	8	578	1522	130	642	11	$p \rightarrow s$	fwd	1.77	2.00	1.21	E	
								bwd	2.03	2.20	1.21	N	
								$s \rightarrow p$	fwd	1.94	2.08	1.14	N
									bwd	1.72	1.88	1.22	E
2	10	1102	2982	202	1202	13	$p \rightarrow s$	fwd	9.42	9.95	4.05	E	
								bwd	11.51	12.00	4.08	N	
								$s \rightarrow p$	fwd	10.99	11.45	3.82	N
									bwd	9.25	9.81	4.09	E
2	12	1874	5162	290	2018	15	$p \rightarrow s$	fwd	38.60	40.16	11.51	E	
								bwd	49.03	50.38	11.60	N	
								$s \rightarrow p$	fwd	47.99	49.40	10.83	N
									bwd	38.34	39.78	11.63	E
3	8	1923	7107	243	2163	20	$p \rightarrow s$	fwd	44.43	62.04	12.26	E	
								bwd	56.92	79.31	12.59	N	
								$s \rightarrow p$	fwd	55.48	57.12	12.27	N
									bwd	44.11	67.60	12.64	E
4	6	1636	7468	196	1924	23	$p \rightarrow s$	fwd	30.28	31.64	10.39	E	
								bwd	38.79	39.97	10.49	N	
								$s \rightarrow p$	fwd	37.86	39.10	9.79	N
									bwd	29.94	31.25	10.49	E

- Space consuming

- Kieferらの実装より遅い

- Trace inclusionは
trace equivalenceより
難しい

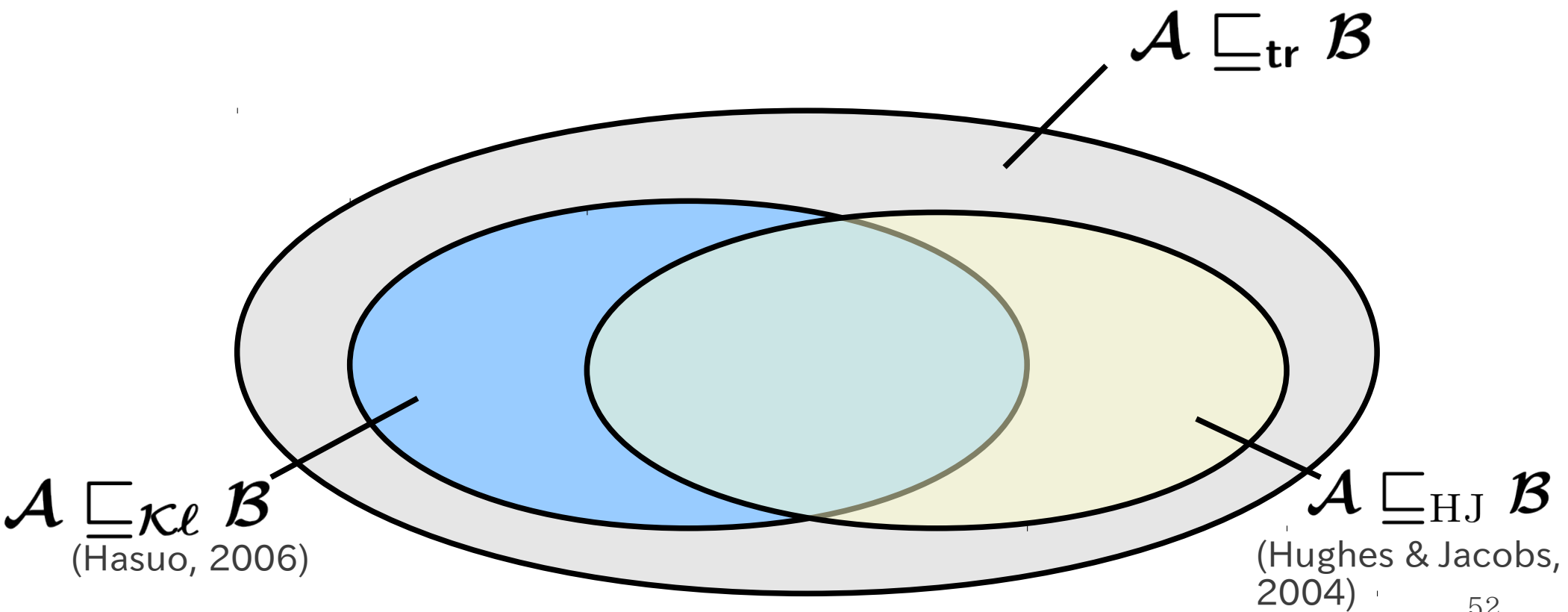
実験結果

- Crowds protocol の probable innocence の検証
- Trace inclusion を調べることで検証できる (Hasuo, Kawabe, Sakurada, 2010)
- 変形が必要になる場合が発生 → 変形・探索を繰り返す

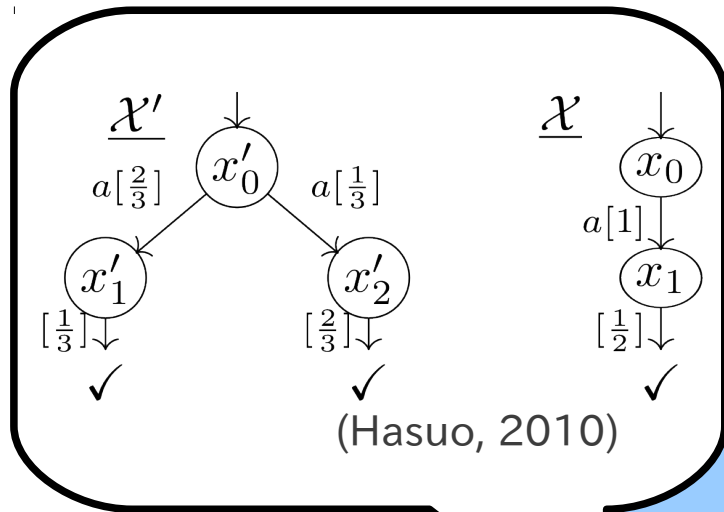
parm			orig		inno				time(sec)		space	iter
n	c	p_f	st	tr	st	tr	al	f/b	user	real	(GB)	
5	1	$\frac{9}{10}$	7	44	7	56	18	fwd	0.10	0.18	0.08	2R
								bwd	0.00	0.06	0.01	2L
7	1	$\frac{3}{4}$	9	88	9	118	26	fwd	0.90	1.06	0.53	2R
								bwd	0.01	0.07	0.01	2L
10	2	$\frac{4}{5}$	12	224	12	280	54	fwd	71.72	152.39	12.87	2R
								bwd	0.06	0.12	0.03	2L
20	6	$\frac{4}{5}$	22	1514	22	1696	238	fwd	OOM			
								bwd	1.29	1.49	0.78	2L
30	6	$\frac{4}{5}$	32	4732	32	5112	550	fwd	SF			
								bwd	11.80	13.11	5.99	2L

- Backward simulation is faster

他のSimulationとの比較



他のSimulationとの比較



$$\mathcal{A} \sqsubseteq_{\text{tr}} \mathcal{B}$$

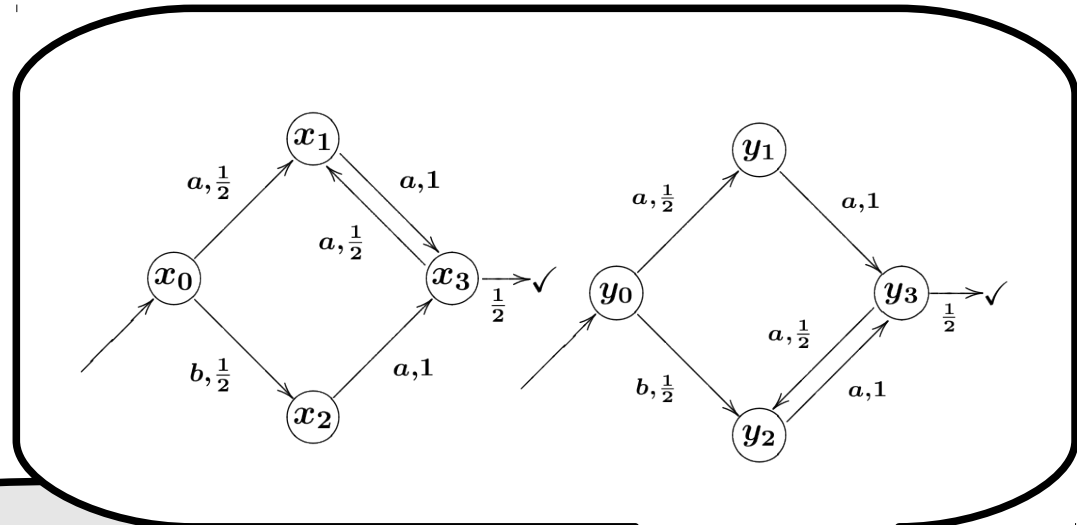
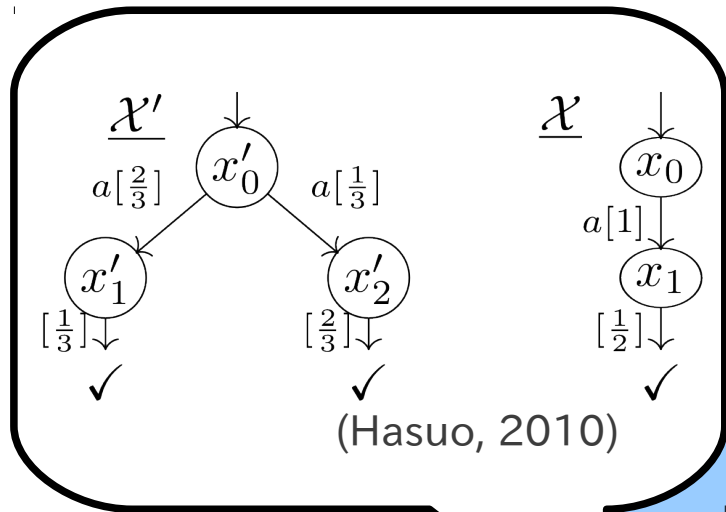
$$\mathcal{A} \sqsubseteq_{\kappa\ell} \mathcal{B}$$

(Hasuo, 2006)

$$\mathcal{A} \sqsubseteq_{\text{HJ}} \mathcal{B}$$

(Hughes & Jacobs, 2004)

他のSimulationとの比較



$\mathcal{A} \sqsubseteq_{\kappa\ell} \mathcal{B}$
 (Hasuo, 2006)

$\mathcal{A} \sqsubseteq_{\text{HJ}} \mathcal{B}$
 (Hughes & Jacobs, 2004)

まとめ

- Kleisli simulationを探すプログラムを実装
- Simulation を存在しやすくする工夫

Future Work

- オートマトンの変形を圏論的に
- 他のシステムに対するKleisli simulationの実装